

人绒毛膜癌甲氨蝶呤耐药细胞株的建立及其特性的研究

陈亚侠,谢幸,陈怀增,程琪,周彩云

(浙江大学医学院附属妇产科医院,浙江杭州310006)

[摘要] 目的:建立耐甲氨蝶呤(MTX)的人绒毛膜癌细胞株,并检测其生物学特性。方法:采用剂量递增间歇诱导的方法,对人绒毛膜癌细胞株JAR进行长期诱导培养,建立耐药细胞株JAR/MTX。比较两种细胞倍增时间、绒毛膜促性腺激素(HCG)分泌量、对MTX和一些常用化疗药的敏感性,P-糖蛋白、谷胱甘肽S转移酶、核增殖抗原的表达,以及细胞自发和MTX诱导凋亡率。结果:历时1年建成JAR/MTX细胞株,耐药性稳定,耐药指数7.3,对紫杉醇、长春新碱有交叉耐药。JAR/MTX细胞增殖缓慢,核增殖抗原表达低于JAR细胞(3.09 ± 0.42 vs 3.72 ± 0.35 , $P < 0.05$)。谷胱甘肽S转移酶表达高于JAR, P-糖蛋白的表达两者无差异。HCG分泌高于JAR细胞,培养48 h后每 10^5 个细胞分泌HCG分别为(95.7 ± 5.4 vs 41.3 ± 2.8)mIU($P < 0.01$)。JAR/MTX细胞的自发凋亡及MTX诱导的凋亡均明显少于其母系JAR细胞($P < 0.05$)。结论:JAR/MTX细胞对MTX耐药性稳定,具有独特的细胞形态、染色体核型、增殖与凋亡等特征,为进一步研究绒癌的耐药机制提供了理想的细胞模型。

[关键词] 绒毛膜癌/药物疗法; 甲氨蝶呤/治疗应用; 抗药性,肿瘤; 细胞培养

[中图分类号] R 737.33 **[文献标识码]** A **[文章编号]** 1008-9292(2004)02-0138-05

Establishment of methotrexate-resistant human choriocarcinoma cell line and its biological characteristics

CHEN Ya-xia, XIE Xing, CHEN Huai-zeng, et al (*The Affiliated Obstetrics and Gynecology Hospital, College of Medicine, Zhejiang University, Hangzhou 310006, China*)

[Abstract] **Objective:** To establish a methotrexate (MTX)-resistant choriocarcinoma cell line and to determine its biologic characteristics. **Methods:** MTX-resistant cell line (JAR/MTX) was derived from human choriocarcinoma cell line JAR by exposed to intermittently and progressively increasing concentration of MTX. Drug sensitivity was detected by MTT; P-gp, GST- π and PCNA expressions were detected by immunohistochemistry. Cell apoptosis was detected by flow cytometry (FCM) with PI/Annexin V stain. Growth rates and human chorionic gonadotropin (HCG) production were also measured. **Results:** JAR/MTX cell line was established with stable MTX-resistance (resistance index to MTX was 7.3) and cross-resistant to TAX and VCR. Growthrate of JAR/MTX was lower than that of parent cell line JAR. Expression level of PCNA in JAR/MTX was lower than that in JAR (3.09 ± 0.42 vs 3.72 ± 0.35 , $P < 0.05$), while GST- π expression was higher. No statistical difference of P-gp expression existed between two cell lines. JAR/MTX secreted more HCG than JAR, every 10^5 cells secreted (95.7 ± 5.4 vs 41.3 ± 2.8)mIU after 48 h($P < 0.01$). The flow cytometry showed that the spontaneous and MTX-induced apoptosis in JAR/MTX was significantly lower than that in JAR $P < 0.05$. **Conclusion:** JAR/MTX cell line presented stable resistant to MTX and cross-resistant to TAX and VCR, which might serve as a model in study of drug resistance in choriocarcinoma.

[Key words] Choriocarcinoma/drug ther; Methotrexate/ther use; Drug resistance, neoplasm; Cell culture

[J Zhejiang Univ (Medical Sci), 2004,33(2):138—142.]

绒毛膜癌(绒癌)是一种对化疗敏感的实体肿瘤。甲氨蝶呤(Methotrexate, MTX)是治疗绒癌首选药物,也是在绝大多数联合化疗方案中必需的药物,但MTX获得性耐药严重,单用MTX约30%患者将出现耐药^[1,2]。体外诱导建立耐药细胞株是研究绒癌获得性耐药机理的重

收稿日期:2003-04-30 修回日期:2003-08-31

基金项目:浙江大学医学院中轻年科研启动基金资助项目

作者简介:陈亚侠(1965—),女,博士生,副主任医师,主要从事妇科肿瘤临床和基础研究。

通讯作者:谢幸(1955—),男,教授,博导,主要从事妇科肿瘤临床和基础研究。E-mail:Xiex@mail.hz.zj.cn

要方法。然而,用 MTX 诱导建立绒癌耐药细胞株迄今国内未见有文献报道,美国细胞库(American Type Culture Collection, ATCC)也无商品化的耐 MTX 的绒癌细胞株提供。本研究采用剂量递增间歇诱导的方法,建立体外获得性耐 MTX 的绒癌细胞株,并对其生物学特性进行研究,为绒癌耐药机制及耐药逆转的研究提供细胞模型。

1 材料与方法

1.1 细胞株 人绒毛膜癌细胞株 JAR 来自美国 ATCC,本室传代培养保存。细胞生长于含 10% 胎牛血清的 RPMI-1640(GIBCO 公司)培养基中,于 37℃、5% 二氧化碳的培养箱中传代培养。细胞呈多边形,贴壁生长。用 0.25% 胰酶(上海生工)消化传代,细胞数小时后即可贴壁,约 24 h 后进入指数生长期,每 2 d 传代 1 次。

1.2 实验药物 MTX(浙江万马药业有限公司,批号 020112)、放线菌素 D(ACTD,上海新亚药业有限公司,批号 020905)、5-氟尿嘧啶(5-Fu,天津金耀氨基酸有限公司,批号 0210222)、环磷酰胺(CTX,江苏恒瑞医药股份有限公司,批号 02110821)、紫杉醇(TAX,美国百时美施贵宝公司,批号 2M522Si)、鬼臼乙叉甙(VP16,江苏恒瑞医药股份有限公司,批号 02082432)、阿霉素(ADM,浙江海正药业股份有限公司,批号 021004)、长春新碱(VCR,深圳万乐药业有限公司,批号 0212V1)。

1.3 主要试剂 P-糖蛋白(P-gp),克隆号 C494,谷胱甘肽 S 转移酶(GST- π),克隆号 353-10 及核增殖抗原(PCNA),克隆号 PC10,均为鼠抗人单抗,购自福州迈兴公司。鼠抗人单抗二步法免疫组化试剂盒购自 Dako 公司。PI/Annexin V-FITC 试剂盒购自美国 Beckman coulter 公司。

1.4 MTX 耐药细胞株的建立 采用剂量递增间隙加药诱导耐药。JAR 细胞胰酶消化传代后次日细胞进入指数生长期,此时培养基中加入 MTX 至终浓度 11 $\mu\text{mol/L}$,加药 8 h 后用磷酸盐缓冲液(PBS)洗 3 遍后加无 MTX 的培养基继续培养,待培养瓶内细胞长满 80% 左右传代。此时,敏感细胞死亡上浮,不敏感细胞继续

存活,但继续存活的细胞生长缓慢形态改变。在无药培养基培养至细胞生长良好后再重复同一浓度 MTX 2~5 次后,再进行下一浓度 MTX 诱导,并逐渐增加诱导浓度。历时约 1 年,MTX 最高诱导浓度为 88 $\mu\text{mol/L}$ 。用四甲基偶氮唑蓝(MTT)快速比色法按照参考文献^[3]步骤测半数抑制浓度(IC_{50})逐渐稳定。撤药培养 3 个月及液氮冻存 3 个月后复苏,复测 IC_{50} 变化在 70% 以内。表明耐药性稳定。此时细胞命名为 JAR/MTX。

1.5 JAR 及 JAR/MTX 细胞株的生物学特性测定 所有指标都在无药培养 3 个月以后测定。

1.5.1 细胞形态观察: 用倒置相差显微镜及常规 HE 染色观察。

1.5.2 对数生长期细胞群体倍增时间测定: 采用细胞计数法^[4],每次计数 3 孔,重复 3 遍取平均值,绘制细胞生长曲线,按 Patterson 公式计算细胞在对数生长期的倍增时间。 $TD = T \times \log 2 / (\log N_t - \log N_0)$ ^[5]。 N_0 为初始细胞数, N_t 为终末细胞数, T 为 $N_t - N_0$ 时间。

1.5.3 核型及细胞周期分布: 用秋水仙素法^[4]观察染色体核型,用流式细胞仪(FCM,美国 Beckman coulter 公司,型号为 EPICS[®] XL 检测细胞周期分布。以正常妇女外周血单个核细胞为标准对照。

1.5.4 人绒毛膜促性腺激素(HCG)测定: 采用时间分辨荧光定量法测细胞培养 48 h 后上清中总 HCG,根据细胞数计算每 10^5 个细胞分泌 HCG 量。

1.5.5 耐药谱分析: 用 MTT 比色法,以 JAR/MTX 细胞株药物作用 48 h 的 IC_{50} 和 JAR 细胞株 IC_{50} 的比值表示耐药指数(resistance factor,RF)。

1.5.6 细胞黏附性测定: 细胞基本铺满培养瓶后倒去培养液,PBS 洗 3 遍,每瓶加 0.25% 胰酶,37℃ 放置 2 min 后倒去胰酶,加入 5 ml PBS,由电动移液器吹打 20 下,然后用血球计数板计算 2 细胞团、3 细胞团、4 细胞团及以上细胞团各占细胞总数的百分比(P_i),其积分 $N = \sum P_i \times i \times 100$, i 为不同细胞数细胞团的系数:2 细胞团为 2,3 细胞团为 3,4 细胞团或以

上为 4。

1.5.7 P-gp、GST- π 、PCNA 表达的检测: 按免疫组化二步法试剂盒说明书中步骤行免疫组化染色,光镜观察结果判断,每批取同一阳性片作质控,以 PBS 代替一抗的免疫组化染色结果为阴性对照。在 Olympus 显微镜 $400\times$ 下观察,任意观察 5 个视野,分别读出其(—)、(+)、(++)和(++)的细胞数。染色判断:(—)为细胞浆或细胞核内无棕黄色颗粒,(+)为细胞浆或细胞核内出现较浅的黄色颗粒,(++)为细胞浆或细胞核内出现清晰的深黄色颗粒,(++)为细胞浆或细胞核内出现明显的棕色或咖啡色颗粒。结果参照 H-score 半定量法分析^[6]。计算公式: $H\text{-score} = \sum P_i(i+1)$ 。其中 i 为染色强度,用 1,2,3 分别代表(+)、(++)、(++)。 P_i 为同一染色强度细胞占总细胞数的百分比。

1.5.8 PI/Annexin V 细胞凋亡检测: 按照试剂盒说明步骤,对不加药的 JAR/MTX 和 JAR 细胞及在 MTX $8.8 \mu\text{mol/L}$ 的培养液中培养 72 h 的 JAR/MTX 和 JAR 细胞,用流式细胞仪检测 PI/Annexin V 的表达。

1.6 统计学处理 两组间比较用 t 检验及卡方检验, $P < 0.05$ 为统计学上差异有显著性。所有数据用 microsoft excel 及 SPSS10.0 for Windows 进行处理。

2 结 果

2.1 JAR/MTX 细胞株建立 历时约 1 年建成的耐药细胞株 JAR/MTX,测得对 MTX 作用 48 h 的 IC_{50} 为 $5.15 \mu\text{mol/L}$,其母系 JAR 的 IC_{50} 为 $0.70 \mu\text{mol/L}$,RF 为 7.35,建株后无药培养及液氮冻存 3 个月以上复测耐药性基本稳定。

2.2 JAR/MTX 细胞株的生物学特性

2.2.1 形态及黏附性: JAR/MTX 细胞在无

药培养 3 个月后,与 JAR 细胞相比,细胞呈不规则状,大小不等,有的细胞出现很长的突起;细胞浆内出现空泡,胞浆中黑色颗粒增多变粗;细胞与细胞之间黑色颗粒状物也明显增多。JAR/MTX 细胞易重叠生长,细胞间黏附性增加,传代时细胞不易吹散。JAR/MTX 及 JAR 细胞培养 48 h 的黏附性积分分别为 142.3 ± 9.1 及 $74.1 \pm 4.8 (P < 0.01)$ 。

2.2.2 细胞增殖及分泌 HCG 情况: JAR/MTX 细胞生长迟缓,每 3~4 d 传代 1 次,而 JAR 细胞每 2 d 传代 1 次。指数生长期群体倍增时间 JAR/MTX 及 JAR 分别为 (32.6 ± 2.8) h 和 (19.6 ± 1.9) h ($P < 0.01$),PCNA 免疫组化 H-score 积分分别为 3.09 ± 0.42 及 $3.72 \pm 0.35 (P < 0.05)$ 。JAR/MTX 细胞较 JAR 细胞分泌更多的 HCG,培养 48 h 后每 10^5 个 JAR/MTX 及 JAR 细胞分泌的 HCG 分别为 (95.7 ± 5.4) mIU 及 (41.3 ± 2.8) mIU ($P < 0.01$)。用流式细胞仪分析细胞周期比例(%),JAR/MTX 及 JAR 细胞 G_0+G_1 分别为 55.5 ± 2.9 及 48.2 ± 2.4 , G_2+M 期分别为 15.3 ± 1.9 及 16.3 ± 1.7 ,S 期分别为 29.2 ± 2.8 及 30.6 ± 2.7 ,两种细胞株细胞周期分布无明显差异。

2.2.3 染色体分析: 以正常人外周血单个核细胞作为标准对照,流式细胞仪分析细胞核型。JAR/MTX 核型异倍体占 95.2%,二倍体仅占 4.08%;JAR 细胞异倍体占 54.53%,二倍体占 45.47%。JAR/MTX 异倍体出现率明显高于 JAR,($P < 0.01$)。用秋水仙素法观察两种细胞染色体多数为假三倍体,集中于 67~71 条。

2.3 JAR/MTX 细胞株的耐药谱分析 从表可以看出 JAR/MTX 细胞不但对 MTX 耐药,而且还对 TAX 特别是对 VCR 高度耐药。对 5-FU、ADM、ACTD、VP-16 仍敏感。见表 1。

表 1 两种细胞株对常用化疗药作用 48 h 的 IC_{50}

Table 1 The IC_{50} of JAR and JAR/MTX to common chemotherapy drugs after 48 h

($\mu\text{mol/L}$)

Group	MTX	TAX	5-FU	ADM	VCR	ACTD	VP-16	CTX
JAR	0.70	0.02	353.63	4.30	0.04	1.78	0.78	—
JAR/MTX	5.15	0.51	378.80	3.44	149.27	2.00	0.85	—
RF	7.35	25.50	1.07	0.80	3731.75	1.12	1.09	—

2.4 P-gp、GST- π 免疫组化结果 见表 2。

表 2 两种细胞中 P-gp、GST- π 免疫组化 H-score 积分比较

Table 2 H-score of P-gp and GST- π expressed in JAR and JAR/MTX cell lines

($\bar{x} \pm s$, n=10)

Group	P-gp	GST- π
JAR/MTX	2.20±0.26	3.46±0.32
JAR	2.31±0.25	2.19±0.23
P	>0.05	<0.05

表 3 PI/Annexin V 检测自然及 MTX 诱导的细胞凋亡

Table 3 The spontaneous and MTX induced apoptosis in JAR and JAR/MTX detected by PI/Annexin V (% , $\bar{x} \pm s$)

Group	n	Normal cell	Early apoptosis	Later apoptosis	Necrosis
JAR	10	76.99±3.14	1.33±0.12	1.39±0.16	20.29±2.72
JAR+MTX	10	17.56±2.13	13.35±1.35	27.23±2.96	41.87±3.16
JAR/MTX	10	90.06±4.65	0.07±0.001	0.28±0.007	9.59±0.92
JAR/MTX+MTX	10	71.33±3.16	0.50±0.012	1.64±0.21	26.53±2.35

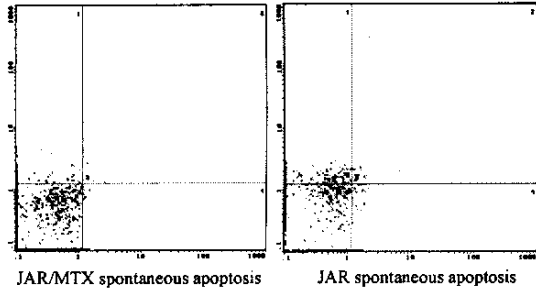


图 1 流式细胞仪检测 PI/Annexin V 染色

Fig. 1 PI/Annexin V stain tested by flow cytometry

3 讨论

3.1 JAR/MTX 细胞的特性 JAR/MTX 细胞与其母系 JAR 细胞相比,细胞异形性明显、群体倍增时间延长、核增殖抗原表达减少、绝大多数细胞为异倍体、细胞间的黏附性增加,表明细胞在多次接触 MTX 后受到损伤致细胞生长缓慢,异倍体比例增加。MTX 是细胞分化诱导剂,可诱导多种细胞分化^[7~9]。HCG 是滋养细胞分化的标志,JAR/MTX 细胞较其母系 JAR 细胞能分泌更多的 HCG,说明 JAR 细胞在 MTX 长期诱导后部分细胞成熟分化。细胞的

2.5 流式细胞仪检测 PI/Annexin V 的表达

图 1 所示,左上象限 PI(+)Annexin V(−) 为死亡的细胞,右上象限 PI(+)Annexin V(+) 为凋亡晚期细胞,右下象限 PI(−)Annexin V(+) 为凋亡早期细胞,左下象限 PI(−)Annexin V(−) 为活细胞。从表 3 可以看出在无药培养下,JAR/MTX 的自发凋亡明显少于 JAR 细胞($P<0.05$)。加 MTX 8.8 $\mu\text{mol}/\text{L}$ 72 h 后两种细胞凋亡均较不加药组增加,但 JAR/MTX 细胞凋亡仍明显少于 JAR 细胞($P<0.05$)。

增殖速度及分化程度与化疗敏感性有关,一般来说增殖越快的幼稚细胞对化疗越敏感,这是化疗药物抗肿瘤治疗的基础,可能也是滋养细胞肿瘤对化疗较敏感的原因之一。本实验中 JAR/MTX 细胞生长缓慢、分化程度增加,可能与 JAR/MTX 细胞的耐药性有关。肿瘤对 MTX 产生耐药的机制涉及多种因素,在对 MTX 耐药的多种不同细胞系的研究中,通过减少叶酸载体而减少 MTX 的摄入、靶酶二氢叶酸还原酶(DHFR)活性增加及 DHFR 与 MTX 的亲和力降低被认为是 MTX 耐药的重要机制^[10~13]。但仅用这些机制不能解释,在研究中发现的当对 MTX 出现耐药后也会对其他抗癌机理不同于 MTX 的其他化疗药物耐药^[14,15],这提示存在其他的耐药机制。肿瘤产生多药耐药的机制涉及多种因素,但在诸多耐药机制中能在临床中得到证实的却很少,MDR1 过表达是唯一能在体内证实且最为重要的机制之一。我们的研究发现,在 JAR、JAR/MTX 细胞中均有 P-gp 的表达,表达强度相似。以往也有研究表明,在正常妊娠的滋养细胞中有 P-gp 表达,说明 P-gp 在正常妊娠的滋养

细胞中有解毒作用,而在绒癌耐药中并非起作用。GST- π 是体内重要的氧化还原系统,可催化谷胱甘肽与各种亲电子分子和疏水性分子结合,使其更有极性而加强外排,通过非酶结合方式将细胞内的毒性化学药物排除,同时在清除活性氧过程中起重要作用,参与机体解毒,并对多种引起细胞死亡的刺激起保护作用。在本研究中 GST- π 在 JAR/MTX 细胞中的染色强度高于 JAR 细胞,提示 JAR 细胞在长时间接触 MTX 后 GST- π 表达增加以对抗 MTX 的细胞毒作用,可能在 JAR/MTX 耐药中起一定作用。细胞凋亡是在众多基因有序激活后发生的一种主动的细胞死亡。随着对细胞凋亡研究的深入,发现细胞凋亡是众多化疗药物杀伤肿瘤细胞的共同通路之一,那么凋亡的抑制可导致耐药。流式细胞仪检测 PI/Annexin V 表达是一种简单、敏感的检测细胞凋亡方法^[16,17]。本实验应用流式细胞仪检测 PI/Annexin V 表达发现同样培养条件下,JAR/MTX 的自然凋亡明显少于其母系 JAR 细胞。MTX 也可通过诱导 JAR 及 JAR/MTX 细胞凋亡而发挥细胞毒作用。但同样浓度的 MTX 对 JAR/MTX 诱发的凋亡明显少于其母系。因此,JAR/MTX 不易凋亡这一特性,可能是 JAR/MTX 不但对 MTX 耐药,而且还是对植物碱类化疗药 TAX、VCR 交叉耐药的重要机制之一。我们将对凋亡抑制在 JAR/MTX 耐药中的作用及其分子机制进行进一步的研究。

3.2 建立耐药绒癌细胞株的意义 肿瘤细胞发生耐药的机制很复杂,由于涉及化疗药物在体内的分布、代谢等,对耐药性的研究尤其复杂和困难。此外,由于多数绒癌患者可仅用化治疗愈,手术治疗并非是绒癌治疗首选和必须的治疗手段,手术切除的标本很少。因此,体外研究绒癌耐药的发生和逆转成为重要的方法之一。但国内外目前用于研究绒癌耐药机制的理想模型较少。MTX 作为治疗绒癌的首选药物,建立耐 MTX 的绒癌耐药模型具有重要的实用价值。绒癌细胞对化疗极敏感,诱导耐药细胞系较为困难。本研究通过多次筛选 MTX 起始诱导浓度,确定 11 $\mu\text{mol/L}$ 为起始诱导浓度,且同一浓度需多次重复后才能进行下一浓度的诱导,

历时 1 年,成功地建立了耐 MTX 的绒癌细胞株。该细胞株对 MTX 耐药性稳定,且对 TAX 及 VCR 有交叉耐药,为进一步研究绒癌耐药机制及耐药逆转提供了理想的细胞模型。

References :

- [1] GARRETT A P, GARNER E O, GOLDSTEIN D P, et al. Methotrexate infusion and folinic acid as primary therapy for nonmetastatic and low-risk metastatic gestational trophoblastic tumors. 15 years of experience [J]. *J Reprod Med*, 2002, 47(5):355—362.
- [2] AGARWAL R, STRICKLAND S, McNEISH I A, et al. Doppler ultrasonography of the uterine artery and the response to chemotherapy in patients with gestational trophoblastic tumors [J]. *Clin Cancer Res*, 2002, 8(5):1142—1147.
- [3] HU X, YANG H, PAN Q R, et al. Does P-glycoprotein play a pivotal role in drug resistance of a MDR variant K562/DOX? [J]. *Cancer Chemotherapy*, 1995, 41(4):296—299.
- [4] E Zhen (鄂征). *Tissue culture and molecular technology*(组织培养和细胞分子技术)[M]. 2nd ed. Beijing: Beijing Press, 1997;156. (in Chinese)
- [5] BULTER M, DAWSON M. *Cell culture* [M]. Labfax Oxford: Bips Scientific Publisher, 1992;34—38.
- [6] NISOLLE M, CASANAS-ROUX F, DONNEZ J. Immunohistochemical analysis of proliferative activity and steroid receptor expression in peritoneal and ovarian endometriosis [J]. *Fertil Steril*, 1997, 68(5):912—919.
- [7] MOLLER B, KUKOC-ZIVOJNOV N, OKAMGBA S, et al. Folinic acid antagonizes methotrexate-induced differentiation of monocyte progenitors [J]. *Rheumatol Int*, 2002, 22(2):60—67.
- [8] KARL P L, HARVEY B, FISHER S E, et al. Ethanol and mitotic inhibitor promote differentiation of trophoblastic cells [J]. *Alcohol Clin Exp Res*, 1996, 20(7):1269—1274.
- [9] KITAMURA H, CHO M, LEE B H, et al. Alteration in mucin gene expression and biological properties of HT29 colon cancer cell subpopulations [J]. *Eur J Cancer*, 1996, 32A(10):1788—1796.
- [10] BANERJEE D, MAYER-KUCKUK P, CAPIZUX G, et al. Novel aspects of resistance to drugs targeted to dihydrofolate reductase and thymidylate synthase [J]. *Biochim Biophys Acta*, 2002, 1587(2-3):164—173.
- [11] TAKEMURA Y, KOBAYASHI H, MIYACHI H. Antifolate resistance and its circumvention by new analogues [J]. *Hum Cell*, 2001, 14(3):185—202.

(下转第 165 页)

NF- κ B 活性,使 RASF 的 COX-2 和 iNOS 基因表达水平下调,导致关节滑膜 PGE2 和 NO 合成减少,最终抑制 RA 病程发展,减轻关节炎症和改善临床症状。这可能是临幊上雷公藤制剂发挥抗类风湿关节炎作用的机制之一。

References:

- [1] YAO Hang-ping, XU Jian-zhong, ZHANG Li-huang (姚航平,徐建忠,张立煌). Expression of interleukin-18 in serum, synovial tissue in patients with rheumatoid arthritis [J]. *Chinese Journal of Rheumatology* (中华风湿病学杂志), 2002, 6(2): 80—83. (in Chinese)
- [2] YAO Hang-ping, LI Ming-wei, ZHANG Li-huang, et al (姚航平,李敏伟,张立煌,等). Expression of cyclooxygenase-2 and inducible nitric oxide synthase in human rheumatoid synovial fibroblasts [J]. *Chinese Journal of Laboratory Medicine* (中华检验医学杂志), 2002, 25(6): 345—348. (in Chinese)
- [3] NEEDLEMAN P, MANNING P T. Interactions between the inducible cyclooxygenase-2 (COX-2) and nitric oxide synthase (iNOS) pathways: Implications for therapeutic intervention in osteoarthritis [J]. *Osteoarthritis Cartilage*, 1999, 7(4): 367—370.
- [4] PELLETIER J P, JOVANOVIC D, FERNANDES J C, et al. Reduced progression of experimental osteoarthritis in vivo by selective inhibition of inducible nitric oxide synthase [J]. *Arthritis Rheum*, 1998, 41(7): 1275—1286.
- [5] SHI Shao-hua, ZHEN Gui-hua, ZHENG Shu-sen (施邵华,陈规划,郑树森). Experimental study on the activity of inducible nitric oxide synthase in the acute cardiac allograft rejection of rats [J]. *Journal of Zhejiang University: Medical Sciences* (浙江大学学报·医学版), 2001, 30(6): 268—271.
- [6] WU Jiang, LIN Xiao-xia, LIU Zi-yi (吴江,林晓霞,刘子贻). Effect of carotenoids on nitric oxide production in mouse peritoneal macrophages [J]. *Journal of Zhejiang University: Medical Sciences* (浙江大学学报·医学版), 2001, 30(5): 211—214.
- [7] CHEN B J. Tripolide, a novel immunosuppressive and anti-inflammatory agent purified from a Chinese herb Tripterygium wilfordii Hook F [J]. *Leuk Lymphoma*, 2001, 42(3): 253—265.
- [8] GU W Z, BRANDWEIN S R. Inhibition of type II collagen-induced arthritis in rats by triptolide [J]. *Int J Immunopharmacol*, 1998, 20(8): 389—400.
- [9] MIGITA K, TANAKA H, OKAMOTO K, et al. FK506 augments glucocorticoid-mediated cyclooxygenase-2 down-regulation in human rheumatoid synovial fibroblasts [J]. *Lab Invest*, 2000, 80(2): 135—141.
- [10] ZHAO G, VASZAR L T, QIU D, et al. Anti-inflammatory effects of triptolide in human bronchial epithelial cells [J]. *Am J Physiol Lung Cell Mol Physiol*, 2000, 279(5): L958—L966.
- [11] LIN N, SATO T, ITO A. Triptolide, a novel diterpenoid triepoxide from *Tripterygium wilfordii* Hook. f., suppresses the production and gene expression of pro-matrix metalloproteinases 1 and 3 and augments those of tissue inhibitors of metalloproteinases 1 and 2 in human synovial fibroblasts [J]. *Arthritis Rheum*, 2001, 44(9): 2193—2200.
- [12] QIU D, ZHAO G, AOKI Y, et al. Immunosuppressant PG490 (tripolide) inhibits T-cell interleukin-2 expression at the level of purine-box/nuclear factor of activated T-cell and NF- κ B transcriptional activation [J]. *J Biol Chem*, 1999, 274(19): 13443—13450.

〔责任编辑 黄晓花〕

(上接第 142 页)

- [12] de NONANCOURT-DIDION M, GUEANT J L, ADJALLA C, et al. Overexpression of folate binding protein alpha is one of the mechanism explaining the adaptation of HT29 cells to high concentration of methotrexate [J]. *Cancer Lett*, 2001, 171(2): 139—145.
- [13] ROTM M G, WILLEY J C, JANSEN G, et al. mRNA expression levels of methotrexate resistance-related proteins in childhood leukemia as determined by a standardized competitive template-based RT-PCR method [J]. *Leukemia*, 2000, 14(12): 2166—2175.
- [14] GOTO S, OKAYAMA Y, FAN C, et al. Methotrexate-induced resistance to dactinomycin in choriocarcinoma [J]. *Cancer*, 1988, 62(5): 873—

- 877.
- [15] NORRIS M D, De-GRAAF D, HABER M, et al. Involvement of MDR1 P-glycoprotein in multifactorial resistance to methotrexate [J]. *Int J Cancer*, 1996, 65(5): 613—619.
- [16] GRANERUS M, JOHANNISSON A, EKHLOM P, et al. Insuline-like growth factors I and II induce cell death in Wilms's tumour cells [J]. *Mol-Pathol*, 2001, 54(1): 30—35.
- [17] HOOD K A, WEST L M, NORTHCOTE P T, et al. Induction of apoptosis by the marine sponge(Mycale) metabolites, mycalamide A and pateamine [J]. *Apoptosis*, 2001, 6(3): 207—219.

〔责任编辑 黄晓花〕